



## بررسی سمت و سوی کاربرد ارتعاشات توان بالای فراصوت در فرآیندهای شکل‌دهی فلزات

رضوان عابدینی<sup>۱</sup>، امیر عبدالله<sup>۲\*</sup>، یونس علیزاده<sup>۲</sup>، وحید فرتاش‌وند<sup>۱</sup>

۱- دانشجوی دکتری، مهندسی مکانیک، دانشگاه صنعتی امیرکبیر، تهران

۲- دانشیار، مهندسی مکانیک، دانشگاه صنعتی امیرکبیر، تهران

\*تهران، صندوق پستی ۱۵۸۷۵-۴۴۱۳

### چکیده

شکل‌دهی فلزات یکی از روش‌های سنتی ساخت قطعات است که در آن ماده به شکل ساده با تغییرشکل پلاستیک به صورت قطعات صنعتی در می‌آید. کاهش نیروهای شکل‌دهی و دستیابی به قطعات با کیفیت بهتر همیشه یکی از اهداف مورد نظر محققان و صنعتگران بوده است. به منظور نیل به این هدف در کنار روش‌های سنتی مانند افزایش دمای قطعه، روش‌های نوین نظیر اعمال ارتعاشات توان بالای فراصوت نیز به کمک آدماند. در این روش ارتعاشات توسط ترانسدیسپلر فراصوت تولید شده و به ناحیه تغییر شکل و تماس بین ابزار (با قالب) و قطعه کار اعمال می‌شود. نتایج نشان می‌دهند که اعمال ارتعاشات مکانیکی فرکانس بالا با دامنه میکرونی موجب کاهش نیروهای شکل‌دهی، افزایش دقت ابعادی و عمر ابزارها و در نتیجه افزایش نرخ تولید و بهره‌وری می‌شوند. با توجه به اهمیت و کاربرد موضوع، در این مقاله به معرفی فرایند اعمال ارتعاشات فراصوت و پدیده‌های در پی آن پرداخته شده است. بر این اساس اصول علمی و تکنولوژیکی اعمال ارتعاشات فراصوت در کنار تاثیر آن بر فرایند و عوامل و مکانیزم‌های در ارتباط با آن مورد بحث و بررسی قرار گرفته‌اند. همچنین راه کارهای پیشبرد این فناوری در صنعت امروز و تجاری‌سازی آن به همراه خلاصه‌ای از مزایا و محدودیت‌های این فرایند در شکل‌دهی فلزات ارائه شده است.

### اطلاعات مقاله

مقاله پژوهشی کامل

دریافت: ۰۵ مرداد ۱۳۹۵

پذیرش: ۱۶ شهریور ۱۳۹۵

ارائه در سایت: ۲۴ مهر ۱۳۹۵

کلید واژگان:

شکل‌دهی فلزات

ارتعاشات فراصوت

ترانسدیسپلر پلاستیک

فراصوت

## A Roadmap for Application of High Power Ultrasonic Vibrations in Metal Forming

Rezvan Abedini, Amir Abdullah\*, Yunes Alizadeh, Vahid Fartashvand

Mechanical Engineering, Amirkabir University of Technology, Tehran, Iran.

\* P.O.B. 15875-4413, Tehran, Iran, amirah@aut.ac.ir

### ARTICLE INFORMATION

Original Research Paper

Received 26 July 2016

Accepted 06 September 2016

Available Online 15 October 2016

#### Keywords:

Metal Forming  
Ultrasonic Vibration  
Plastic Deformation  
Ultrasonic Transducer

### ABSTRACT

Metal forming is a conventional manufacturing process whereby a material with simple form is subjected to plastic deformation and results in industrial end products. Reduction of forming forces and improving product quality has been a promising subject for investigators and artisans. For this purpose, primary methods such as increasing material temperature and modern methods such as use of high power low amplitude ultrasonic vibrations were introduced. In ultrasonic assisted forming, high power ultrasonic transducer produces low amplitude high frequency mechanical vibrations which were transmitted to material subjected to deformation and contacting surfaces of tool/workpiece. Results show reduction of forming forces and tool wear as well as improved surface integrity and dimensional stability that lead to increasing production rate and process efficiency. Considering the importance and capability of ultrasonic assisted metal forming, this paper is concerned with application of ultrasonic vibration on metal forming processes. To this purpose, fundamental principles and mechanisms of application of high power ultrasonic were introduced and discussed. Also, industrial future of this technology as well as its advantages, range of application and its restrictions were mentioned.

### ۱- مقدمه

مستحکم و سنگین‌تر می‌شوند، همچنین در روش سنتی براساس مقاومت ماده در برای تغییرشکل لازم است ابزارهای مورد استفاده از استحکام مکانیکی و مقاومت سایشی به مراتب بالاتری نسبت به قطعه برخوردار باشند. از این‌رو محققان به بررسی کاهش م وقت استحکام ماده تحت تغییر شکله منظور کاهش نیروهای شکل‌دهی ل پرداختند. افزایش دما معمول ترین روش بدین منظور است، در بسیاری از فرایندهای شکل‌دهی معمول امروز از افزایش دما برای کاهش نیروهای شکل‌دهی و بهبود شکل‌پذیری قطعات استفاده می‌شود. افزایش دما در یک قطعه مستلتزم صرف انرژی برای تولید گرم‌ما و

یکی از پرکاربردترین روش‌های تولید بهره‌گیری از تکنولوژی شکل‌دهی است که در آن شکل نهایی با اعمال نیرو و با استفاده از ابزارهای سنتی با ایجاد تغییر شکل پلاستیک در ماده اولیه تولید می‌شود. مهم‌ترین فرایندهای سنتی شکل‌دهی فلزات عبارتند از آهن‌گری، کشش عمیق و کشش سیم و لوله. یکی از مهم‌ترین مسائل در تحقیق در زمینه شکل‌دهی فلزات کاهش نیروهای شکل‌دهی و دستیابی به دقت و پایداری ابعادی و هندسی بالای قطعات است. شکل‌دهی بالای شکل‌دهی موجب نیاز به دستگاه‌های با ابعاد بزرگ‌تر و اجزای

برای ارجاع به این مقاله از عبارت ذیل استفاده نمایید:

R. Abedini, A. Abdullah, Y. Alizadeh, V. Fartashvand, A Roadmap for Application of High Power Ultrasonic Vibrations in Metal Forming, *Modares Mechanical Engineering*, Vol. 16, No. 10, pp. 323-334, 2016 (in Persian)

هورن و ترانسdiyosr قرار می گیرد. شکل 2 نمای اجزای اصلی مجموعه تولید و انتقال ارتعاشات فراصوت را نشان می دهد.

### 3-1- منبع تغذیه

منبع تغذیه یا ژنراتور، ورودی برق شهر با فرکانس 50Hz را به خروجی متناوب الکتریکی با فرکانس 20-100 کیلوهرتز (در محدوده فرکانس فراصوت توان بالا) تبدیل می کند. انواع صنعتی منبع تغذیه در محدوده توان بین 5-5 کیلووات موجود است. هنگام فرایند شکل دهنده با تغییر نیرو و یا شرایط در گیری ابزار و قطعه کار با یکدیگر، فرکانس روزانه مجموعه مکانیکی کمی تغییر می کند به همین دلیل در منابع تغذیه پیشرفتنه قابلیت تنظیم خودکار فرکانس (بر مبنای بیشترین جریان خروجی از منبع تغذیه و یا اختلاف فاز صفر بین ولتاژ و جریان خروجی) موجود است.

### 3-2- ترانسdiyosr فراصوت

ترانسdiyosrها (مبدل‌ها) صورتی از انرژی را به صورت دیگر تبدیل می کنند. به طور معمول در عملیات شکل دهنده به کمک اولتراسونیک می توان از دو نوع ترانسdiyosr الکترواستریکتیو (ساندویچی پیزوالکتریک)<sup>1</sup> یا مگنتواسترنیکتیو (الکترومغناطیسی)<sup>2</sup> استفاده کرد. ترانسdiyosrها ساندویچی پیزوالکتریک از آن جهت که انرژی الکتریکی را مستقیماً به انرژی مکانیکی تبدیل می کنند، نسبت به ترانسdiyosrها مگنتواسترنیکتیو (تبدیل انرژی الکتریکی به انرژی مغناطیسی و سپس به ارتعاشات مکانیکی) راندمان بالاتری دارند. به طوری که برای یک عملیات چکش کاری اولتراسونیک به جای یک ترانسdiyosr مگنتواسترنیکتیو 1000 واتی می توان از یک ترانسdiyosr ساندویچی پیزوالکتریک 250 واتی استفاده کرد [6].

ترانسdiyosr فراصوت پیزوالکتریک ساندویچی از تعداد زوج (2 عدد) پیزوالکتریک (PZT) تشکیل شده است که توسط یک پیچ مرکزی مابین دو قطعه فلزی (پشت‌بند و تطبیق) سفت می‌شوند. قطعه پشت‌بند ماده‌ای سنگین (غلب از جنس Si304) و قطعه تطبیق از آلیاژ آلومینیوم و تیتانیوم پیزوالکتریک صنعتی امروزه اغلب دارای محدوده فرکانسی 15-40 کیلوهرتز و دامنه ما بین 8-30 میکرومتر هستند. در ترانسdiyosrها با فرکانس پایین تر می توان به دامنه ارتعاش بالاتر و درنتیجه شدت انرژی آکوستیک بالاتر دست یافت.

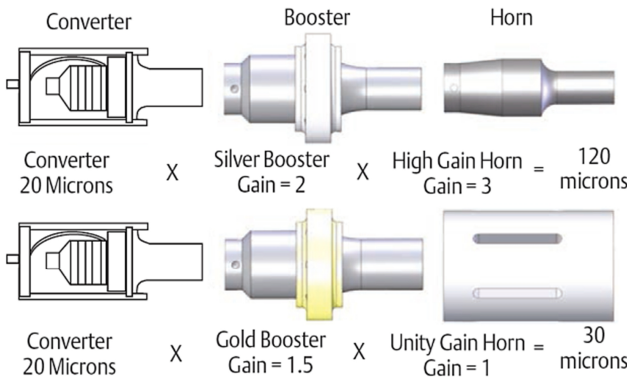


Fig. 2 Power Ultrasonic components: Converter, Booster and Horn [5]  
شکل 2 اجزای مجموعه ارتعاشی شامل ترانسdiyosr، بوستر و هورن

<sup>1</sup> Electrostrictive (Piezoelectric) transducer

<sup>2</sup> Magnetostrictive (Electromagnetic) transducer

همچنین استفاده از ابزارهای با مقاومت حرارتی بالا در شکل دهنده است که از محدودیتهای این روش محسوب می شود.

یکی از روش‌های مدرن که استفاده از آن به دلیل مزایای چشمگیر آن در مراکز صنعتی رو به گسترش است، شکل دهنده فلزات به کمک ارتعاشات توان بالای فراصوت است [1]. کاربرد فراصوت در فرایندهای شکل دهنده اغلب جهت بالابردن بازده فرایند نظیر افزایش سرعت تولید، کاهش سایش ابزار و یا قالب، کاهش نیروهای شکل دهنده، بهبود کیفیت سطح و پایداری ابعادی و هندسی قطعه کار است [2].

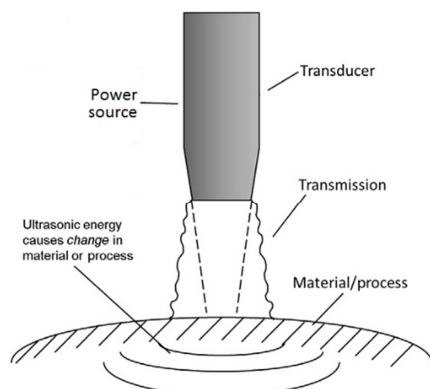
مبحث فراصوت توان بالا شامل تولید، انتقال و تقابل ماده / فرایند است. با توجه به اهمیت این تکنولوژی در صنعت آینده در این مقاله اصول، تجهیزات و تأثیر ارتعاشات فراصوت توان بالا در خصوصیات مواد با تمرکز بر فرایندهای شکل دهنده مد نظر قرار گرفته است. به دلیل گستردگی تحقیقات در این زمینه دو رویه در مرور مقالات در نظر گرفته شده است. در بخش نخست کاربرد فناوری فراصوت در فرایندهای شکل دهنده با تمرکز بر چیدمان آزمون و نتایج تجربی مد نظر قرار گرفته است. در بخش دوم تقسیم‌بندی عوامل و تحلیل ثوری‌های مختلف در زمینه اعمال ارتعاشات فراصوت در مواد و فرایندها ارائه شده است.

## 2- اصول ارتعاشات فراصوت

امواج اولتراسونیک امواج الاستیک با فرکانس بالاست که قادرند از درون ماده فیزیکی عبور کرده و انرژی را منتقل نمایند. طیف فرکانس امواج اولتراسونیک بالاتر از حد شنوایی انسان (20kHz) است [3]. اجزای اصلی سیستم فراصوت توان بالا (شکل 1) شامل یک ترانسdiyosr فراصوت و منبع تغذیه الکتریکی برای تحریک آن است. میدان آکوستیک خروجی از ترانسdiyosr توسط یک محیط واسط جامد و یا مایع به ماده نهایی تحت عملیات یا ابزار منتقل می شود [4]. از نظر محدوده تأثیرگذاری ارتعاشات فراصوت را می توان در سه بخش تأثیرات میکروسکوپی و میکروساختاری، تأثیرات ماقوسکوپی و تأثیرات سطحی طبقه‌بندی کرد.

### 3- تجهیزات اعمال ارتعاشات در فرایندهای شکل دهنده

ترانسdiyosr فراصوت و منبع تغذیه آن به ترتیب قلب و مغز مجموعه اعمال ارتعاشات فراصوت هستند. وسیله اعمال ارتعاشات فراصوت از ترانسdiyosr به ناحیه شکل دهنده یا ابزار براساس فرایند می تواند شکل های متفاوتی داشته باشد و «هورن» نامیده می شود. اغلب برای انتقال ارتعاشات و افزایش (یا کاهش) دامنه ارتعاشات و شدت امواج قطعه‌ای به عنوان «بوستر» مابین



شکل 1 مجموعه فراصوت توان بالا

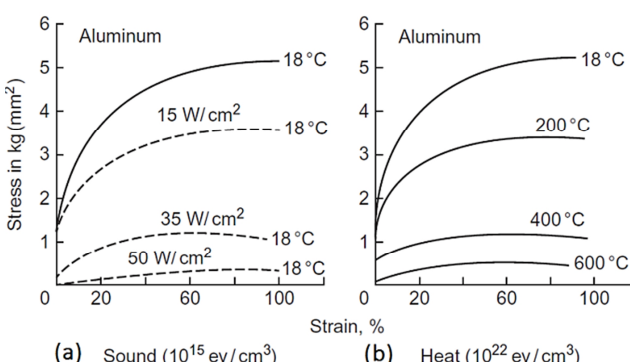
و عبداله [12] در رأس تیم‌های تحقیقاتی در این زمینه به بررسی پرداخته‌اند و نظریه‌های مختلفی درباره تأثیرگذاری فرآصوت در فرآیندهای شکل‌دهی فلزات ارائه کردند.

نخستین تحقیقات در زمینه اعمال ارتعاشات فرآصوت بر خصوصیات فیزیکی مواد به مطالعات بلاها و لانگنکر در سال 1955 [13] بر کشش یک تک کریستال روی (Zn) باز می‌گردد. نتایج تحقیقات نشان داد که تنش تسليیم و تنش سیلان با اعمال ارتعاشات فرآصوت در کشش تک کریستال روی کاوش می‌باشد. از این‌رو پدیده کاوش تنش تسليیم را «اثر بلاها<sup>4</sup>» و یا «نمودگی آکوستیکی<sup>5</sup>» می‌نامند. آزمون‌های کشش و فشار برای مواد پلی‌کریستال در ادامه تحقیقات پیوسته گسترش یافت و نرم‌شدنگی در مواد همچون کادمیم، آهن، تیتانیوم و تنگستن گزارش شد. آن‌ها نرم شدنگی حاصل از میدان فرآصوت را به دلیل ایجاد و حرکت نابهجه‌ای‌ها بیان کردند.

در ادامه تحقیقات لانگنکر [14] نشان داد که ارتعاشات فرآصوت و حرارت اثرات مشابهی در کاوش تنش (آزمون فشار و کشش) دارند (شکل 4-a و b). او دریافت برای رسیدن به تنش تسليیم صفر در آلومینیوم انرژی حرارتی لازم معادل  $10^{22}$  eV/cm<sup>3</sup> در مقابل  $10^{15}$  eV/cm<sup>3</sup> برای ارتعاشات فرآصوت است. یعنی انرژی فرآصوت مورد نیاز برای یک مقدار معین نرمی<sup>7</sup> ۱۰<sup>۷</sup> برابر کمتر از انرژی حرارتی مورد نیاز است. او درباره دلیل این امر بیان داشت: «انرژی ارتعاشات فرآصوت فقط در نواحی موضعی از شبکه فلزی که مکانیزم تغییرشکل فعل است (مانند جاهای خالی، نابهجه‌ای‌ها و مرز دانه‌ها) جذب می‌شود، در حالی که توسط گرمادهی، حرارت به صورت یکنواخت در میان اتم‌های کریستال که سهمی در مکانیزم تغییرشکل ندارند توزیع می‌گردد».

#### 2-4- کشش عمیق و اسپینینگ لوله

در فرآیند کشش عمیق یک ورق فلزی ما بین قالب و سنبه قرار گرفته و ورق با حرکت پیوسته سنبه کشیده می‌شود و به شکل دلخواه درمی‌آید. برای اعمال ارتعاشات فرآصوت در این فرآیند می‌توان ارتعاشات را هم به سنبه و هم به قالب اعمال کرد. نیروی اصطکاک بین ورق اولیه و سنبه، قالب و نگهدارنده ورق نقش اساسی را در این فرآیند ایفا می‌کند. مزایای حاصل از کاوش نیروی



**Fig. 4** نمودار تنش- تغییر طول نسبی تک کریستال آلومینیوم (خط چین- کرنش هنگام اعمال ارتعاشات فرآصوت و خطوط کامل- حالت‌های غیر اعمال ارتعاشات فرآصوت، الف- فرکанс ۲۰kHz و شدت‌های مختلف ب- بدون اعمال ارتعاشات فرآصوت در دمای‌های مختلف

<sup>4</sup> Blaha Effect  
<sup>5</sup> Acoustic Softening

#### 3-3- بوستر و هورن

بوستر و هورن وظیفه انتقال ارتعاشات از ترانزیستور به ناحیه تغییر شکل را به عهده دارند و اغلب از جنسآلیاژ آلومینیوم و تیتانیوم و در برخی موارد از جنس فولاد ساخته می‌شوند. اگر مقطع انتقال دهنده ارتعاشات با کاوش سطح همراه باشد عمل تمرکز انرژی ارتعاشی انجام خواهد گرفت و دامنه ارتعاشات افزایش خواهد یافت و اگر مقطع دارای افزایش سطح باشد به عنوان گسترش دهنده ارتعاشات عمل خواهد کرد. در شکل 2 دامنه ارتعاشات در خروجی ترانزیستور ۲۰ میکرومتر است. در ردیف بالا بوستر و هورن به ترتیب دارای ضربی بزرگ‌نمایی ۲ و ۳ و در ردیف پایین به ترتیب برابر ۱.۵ و ۱ است و در نتیجه دامنه ارتعاش انتهای هورن ردیف بالا ۱۲۰ میکرومتر و در ردیف پایین برابر ۳۰ میکرومتر می‌گردد. انتخاب هرکدام از اجزا براساس کاربرد مورد نظر است. برای نمونه جهت دستیابی به دامنه ارتعاش بالاتر از ردیف بالا و برای دستیابی به قدرت استاتیک بالا (فسردن فلزات) از چیدمان

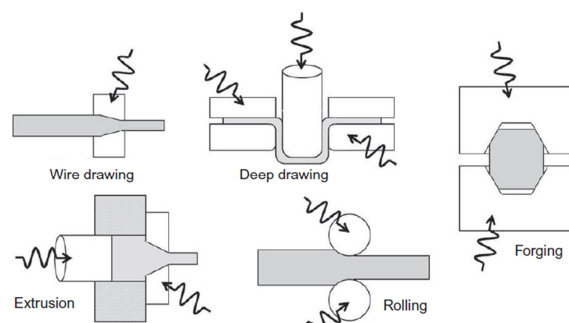
ردیف پایین استفاده می‌شود [5].

#### 4-آزمون‌های تجربی

در این بخش نتایج حاصل از برخی آزمون‌های تجربی در فرآیندهای شکل‌دهی نظیر آزمون کشش، آزمون فشار، کشش سیم و لوله، کشش عمیق، چشک‌کاری فرآصوت<sup>1</sup> (UIT)، متالورژی پودر و فرایندهای نوین شکل‌دهی نظیر میکروفورمینگ، شکل‌دهی تدريجی<sup>2</sup> و ECAP<sup>3</sup> ارائه می‌شود. به دلیل تعداد بالای تحقیقات در این زمینه شرح نتایج برخی از مقالات برگزیده ارائه و در بخش بحث به نتایج گستره بیشتری از مقالات اشاره خواهد شد. براساس نتایج تحقیقات انجام گرفته، وابسته به نوع فرآیند و نحوه اعمال ارتعاشات فرآصوت و خواص مواد تحت آزمون پدیده‌های مختلفی نظیر کاوش اصطکاک، تغییر تنش تسليیم و سیلان ماده، تغییر نیروی لازم برای فرآیند شکل‌دهی و پایداری ابعادی و هندسی محصول نهایی مشاهده شده است. شکل 3 روش‌های اعمال ارتعاشات فرآصوت بر فرایندهای شکل‌دهی را نمایش می‌دهد [9].

#### 4-1-آزمون کشش

آزمون کشش یک روش استاندارد برای بررسی رفتار مواد تحت تغییر شکل است. در کاربرد ارتعاشات فرآصوت در فناوری‌های شکل‌دهی آزمون کشش مبنای تعیین پارامترهای تأثیرگذاری فرآصوت است. به همین دلیل در ادوار مختلف محققان مختلفی از جمله لانگنکر [10]، کریستوفی [11]، لوکاس [1]



**Fig. 3** نمودار تنش- تغییر طول نسبی تک کریستال آلومینیوم (خط چین- کرنش هنگام اعمال ارتعاشات فرآصوت بر فرایندهای شکل‌دهی

<sup>1</sup> Ultrasonic Impact Treatment (UIT)

<sup>2</sup> Incremental Forming

<sup>3</sup> Equal-Channel Angular Pressing (ECAP)

### 4-3-چکش کاری فراصوت (UIT)

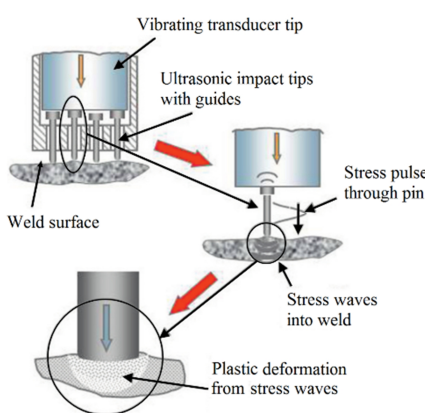
پس از عملیات جوش کاری به دلیل ایجاد تنفس پسماند کششی در نمونه، ترکهایی در قسمت پایه جوش به وجود آید که این ترکها سبب ایجاد تمرکز تنفس و کاهش عمر خستگی نمونه می‌شود. اعمال ارتعاشات و ضربات فراصوت در فرایند چکش کاری فراصوت موجب جایگزینی تنفس پسماند فشاری به جای تنفس پسماند کششی در سطح ماده، حذف یا کاهش تنفسهای پسماند کششی در عمق ماده [21,20]، بسته شدن ترکهای سطحی و اصلاح شکل پاشنه جوش می‌شود.

ترانسdiپوسر با فرکانس بالا (20-40 kHz) در این فرآیند ارتعاش کرده و در نتیجه انتهای آزاد ترانسdiپوسر نیز با همان فرکانس و دامنه 20-40 $\mu$ m ارتعاش می‌کند و ارتعاشات را به ضریب زننده (پین) انتقال می‌دهد [22]. ضربات پین‌های شناور به پاشنه جوش یا سطح مواد موجب تبدیل تنفس کششی به فشاری، بستن ترکها، افزایش استحکام مکانیکی، خستگی و خوردگی ماده و در نتیجه افزایش عمر سازه می‌شود (شکل 6).

جامع ترین تحقیقات در زمینه عملیات سطح توسط چکش کاری فراصوت توسط تیمی از دانشمندان روسی به سرپرستی استاتیکوف برای بهبود خواص خستگی و خوردگی در کاربردهای کشتی‌سازی و ساخت زیردریایی از سال 1980 تا کنون [24,23] در این زمینه در حال انجام است. عملیات چکش کاری فراصوت بر انواع شکل جوش مانند لب به لب، T-شکل و ... و مواد مختلف مانند فولاد ساختمانی، فولاد استحکام بالا و آلومینیوم آلیاژی انجام شد.

آن‌ها بیان داشتند اعمال ارتعاشات فراصوت با اعمال تنفس پسماند فشاری و تصحیح شکل پاشنه جوش موجب افزایش استحکام خستگی بین 50-200% برای شکلهای اتصال و مواد مختلف می‌شود. همچنین اعمال ارتعاشات فراصوت در برخی از مواد با ایجاد تبلور مجدد در سطح نمونه موجب ایجاد لایه سفید و بسیار مقاوم به خوردگی و سایش می‌شود. شکل 7 تأثیر فرایندهای مختلف نظیر جوش کاری دوباره، شاتپینینگ و چکش کاری فراصوت را در افزایش استحکام خستگی نشان می‌دهد و نشانگر بازده بالاتر فرایند چکش کاری فراصوت نسبت به دیگر فرایندهای مشابه است.

عبدالله و همکاران [26,25] اثر چکش کاری فراصوت بر استحکام خستگی، خوردگی و میکروساختار اتصالات جوشی فولاد زنگ نزن و آلومینیوم Al6082 را بررسی کردند. نتایج نشان می‌دهد با اعمال چکش کاری فراصوت در تنفس 330MPa و 300MPa عمر خستگی به ترتیب تا 120% و 70% و مقاومت به خوردگی به مقدار چشمگیری تا 6 برابر نمونه‌های بدون چکش کاری بهبود



شکل 6 اعمال ضربات توسط ابزار به قطعه کار در فرایند چکش کاری فراصوت

اصطکاک به واسطه اعمال ارتعاشات فراصوت مبنای بسیاری از تحقیقات در این زمینه قرار گرفته است [15].

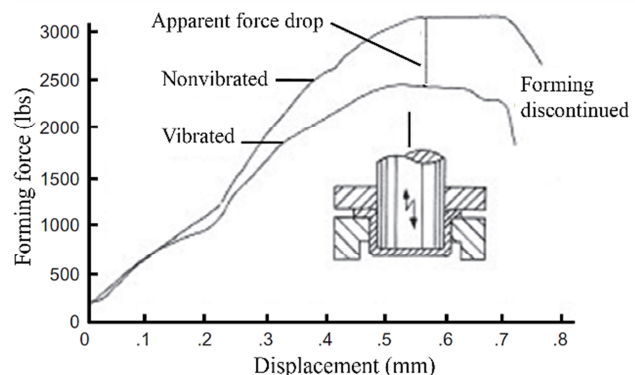
کریستوفی [16,11] اثر ارتعاشات فراصوت را در فرایند کشش عمیق با اعمال ارتعاشات به سنه (محوری) و قالب (شعاعی) به طور مجزا و ترکیبی بررسی کرد. شکل 5 تأثیر ارتعاشات سنه را در کاهش نیروهای شکل دهی کشش عمیق نشان می‌دهد.

جیما و همکارانش [17] اثر ارتعاشات محوری و شعاعی اولتراسونیک را بر نسبت کشش حدی<sup>1</sup> (LDR) در فرایند کشش عمیق مقارن محوری بررسی کردند. آن‌ها مشاهده کردند که اعمال ارتعاشات اولتراسونیک به سنه، ورق‌گیر و یا قالب سبب کاهش اصطکاک و مقاومت تغییر شکل ماده شده و در نتیجه LDR را افزایش می‌دهد. برای ورق کارسرد شده مقدار LDR از 2.58 (روش معمول) به 2.86 (اعمال ارتعاش تنها به ورق گیر) و 2.94 (اعمال هم‌زمان ارتعاش به ورق گیر و قالب) افزایش یافت.

عبدالله و سهرابی‌فر [18] فرایند کشش عمیق ورق فولادی St12 به ضخامت 0.5 میلی‌متر و اثر ارتعاشات فراصوت بر نیروهای شکل دهی و نسبت حد کشش را مورد بررسی قرار دادند. آن‌ها دریافتند با اعمال ارتعاشات فراصوت نیروی شکل دهی 11.3% کاهش یافته و نسبت حد کشش از 2.2 به 2.3 افزایش یافته است که در حدود 5% افزایش را نشان می‌دهد.

عبدالله و رسولی [19] اثر اعمال ارتعاشات طولی فراصوت را بر نیروهای شعاعی، محوری و مماسی بر غلتک و کیفیت سطح داخلی قطعات در اسپینینگ لوله از جنس AA-6061 مورد مطالعه قرار دادند. آن‌ها دریافتند در توانهای بالای فراصوت کاهش نیرو تنها در جهت شعاعی (4-13%) اتفاق افتاده و در جهات دیگر تغییر مشاهده نمی‌شود، همچنین با اعمال ارتعاش فراصوت سختی سطح خارجی نمونه افزایش یافت، اما تغییری در سطح داخلی مشاهده نشد. به علاوه با افزایش نرخ پیشروی و ضخامت نمونه اثر فراصوت کاهش یافت.

تفسیر آن‌ها از نتایج مشاهده شده آن بود که تغییرات نیروهای فرمدهی کمتر از اثرهای حجمی (جذب انرژی توسط میکروساختار) تأثیر می‌پذیرد و بیشتر متأثر از تغییر شرایط اصطکاکی بین قطعه و ابزار است. در نهایت آن‌ها بیان داشتند تغییر شرایط شکل دهی به واسطه عوامل متعددی نظیر حضور یا عدم حضور ارتعاشات فراصوت، برآمدگی ماده هنگام شکل دهی و تاریخچه شکل دهی ماده است که هر یک می‌تواند به تنهایی اثر قابل توجهی بر نتیجه آزمون داشته باشد.



شکل 5 تأثیر ارتعاشات فراصوت بر نیروی تغییرشکل در فرایند کشش عمیق

<sup>1</sup> Limiting Drawing Ratio (LDR)

از نظر علمی و تکنولوژیکی نیز بسیار مفید بوده و می‌تواند منجر به کاهش نیروی لازم برای شکل دهنده لوله و کاهش تعداد مراحل کشش و باز کشش در طول فرآیند تولید شود.

لهفلت [28] آزمون کشش سیم فولادی تحت ارتعاشات فراصوت را مورد بررسی قرار داد. شکل a-9 چیدمان قالب کشش سیم و اعمال ارتعاشات فراصوت و شکل b-9 کاهش نیروی کشش سیم را با قطع و وصل ارتعاشات فراصوت نشان می‌دهد.

موراکاوا و جین [30,29] اثر اعمال ارتعاشات طولی و شعاعی به قالب را در کشش سیم مورد بررسی قرار دادند. آن‌ها بیان داشتند در حالت اعمال ارتعاشات شعاعی به قالب نتایج مطلوبی از کاهش نیرو و بهبود کیفیت سطح حاصل می‌شود، همچنین در ارتعاش شعاعی می‌توان دامنه وسیع‌تری از سرعت‌های کشش را مورد استفاده قرار داد.

عبدالله و همکارانش [31] بررسی تئوری و تجربی فرآیند فرمدهی نفوذی لوله به کمک ارتعاشات طولی فراصوت را مورد بررسی قرار دادند و دریافتند اعمال ارتعاشات فراصوت موجب کاهش نیروهای شکل دهنده (15-25 درصد) و بهبود کیفیت سطح می‌شود. به این منظور آن‌ها چیدمانی با استفاده از ترانزیدیوسر ساندویچی توان بالای 3kW طراحی کرده و مورد استفاده قرار دادند. آن‌ها دریافتند با افزایش دامنه ارتعاشی نیروی لازم برای فرمدهی نفوذی کاهش می‌یابد.

#### 5-4- آهن‌گری و آزمون فشار (آپستینگ)

در عملیات آهن‌گری حجم مشخصی از ماده در حالت‌های سرد و داغ با نرخ کرنش معین در قالب بسته یا باز فشرده شده و رفتار تغییرشکل ماده مورد بررسی قرار می‌گیرد. حالت ساده‌تر آزمون آهن‌گری برای ارزیابی خصوصیات

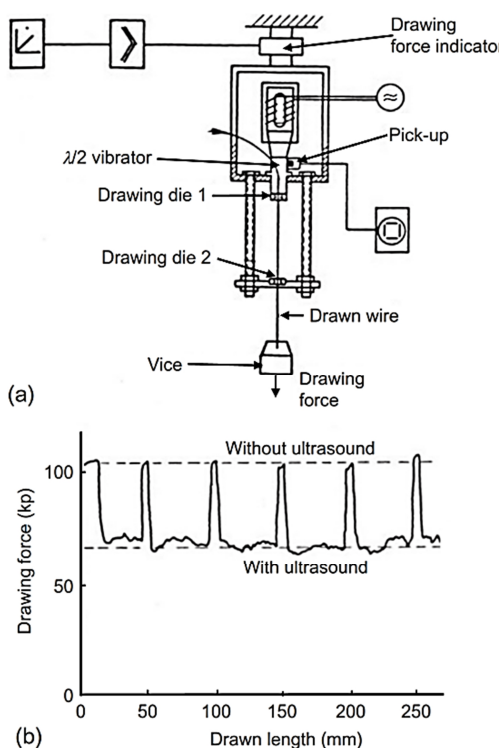


Fig. 9 Wire drawing work. a- Experimental wire drawing setup and b- draw force on copper wire with on-off ultrasound [28]

شکل 9 آزمون کشش سیم به کمک ارتعاشات فراصوت الف- نمای چیدمان کشش و ب- کاهش نیرو در کشش سیم مس با قطع و وصل ارتعاشات فراصوت.

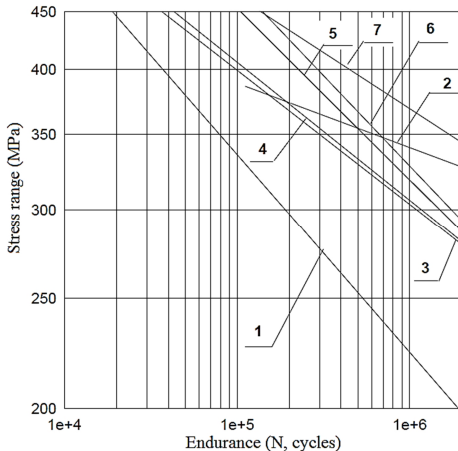


Fig. 7 Fatigue curves for welded joint in steel Weldox 420 in the as-welded and improved conditions: 1- as welded, 2- UIT treated using indenters of diameter 5 mm, 3- hammer peened, 4- shot peened, 5- TIG dressed, 6- TIG dressed and UIT treated using indenters of diameter 5 mm, 7- UIT treated using indenters of diameter 3 mm [24]

شکل 7 مقایسه روش‌های مختلف بهبود استحکام خستگی جوش 1- جوش کاری شده، 2- پس از UIT با پین به قطر 5 میلی‌متر، 3- پس از چکش کاری مکانیکی، 4- پس از شات پینینگ، 5- پس از TIG Dressing، 6- پس از UIT و TIG Dressing و 7- پس از UIT با پین به قطر 3 میلی‌متر

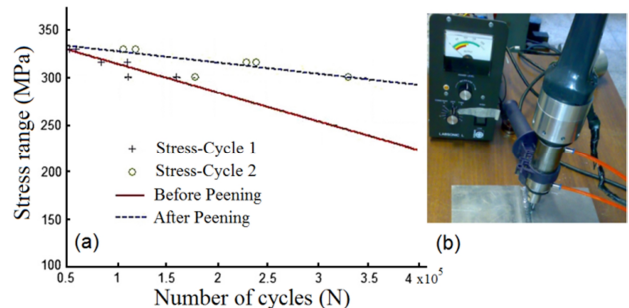


Fig. 8 a- S-N curves of specimens with and without ultrasonic peening and b- Ultrasonic peening tool [25]

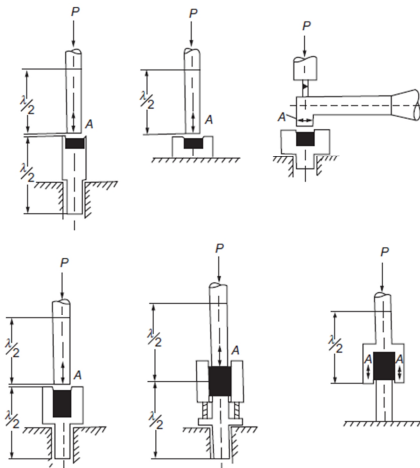
شکل 8 الف- نمودار تنش-تعداد سیکل نمونه‌های تحت آزمون خستگی با و بدون اعمال چکش کاری فراصوت و ب- ابزار چکش کاری فراصوت

یافته است. همچنین اعمال چکش کاری فراصوت موجب افزایش سختی سطح در نمونه‌ها تا عمق 200 $\mu\text{m}$  پس از عملیات جوش کاری شده است.

#### 4-4- کشش سیم و لوله

کشش سیم و لوله به فرایند کاهش سطح مقطع سیم و لوله با اعمال فشار به آن درون یک قالب گفته می‌شود. اعمال ارتعاشات فراصوت به فرایند کشش سیم و لوله موجب افزایش سرعت کشش، بهبود کیفیت سطح، کاهش نیروهای کشش سیم و لوله، افزایش میزان کاهش سطح مقطع به ازای هر مرحله و افزایش عمر ابزار می‌شود. این مزایا برای مواد گوناگون، چیدمان مختلف آزمون‌ها و سرعت‌های کشش مختلف، متفاوت است.

آنانازیو [27] اثر ارتعاشات اولتراسونیک را بر فرآیند کشش سیم و لوله بررسی کرد. او تأثیر این ارتعاشات را به دو دسته اثر حجمی و اثر سطحی تقسیم‌بندی کرد که اثر حجمی شامل کاهش تنش لازم برای شکل دهنده فلز و افزایش کرنش شکست و اثر سطحی شامل کاهش اصطکاک بین سطوح در تماس است. او نشان داد که استفاده از امواج سیب کاهش تنش تسیلیم ماده و ضربی اصطکاک در فرآیند کشش لوله می‌شود، همچنین استفاده از این امواج



**Fig. 10** Different ways in which the pressing tool may be excited into ultrasonic vibration [36]

شکل 10 روش‌های مختلف اعمال ارتعاشات فراصوت بر ابزار فشردن پودر

را بر پودرهای فلزی آهن و نیکل مورد بررسی تجربی و تئوری قرار دادند. روش انجام آزمون‌ها بدین صورت بود که پس از حرارت‌دهی و همدما شدن نمونه‌ها (دماهای 700، 800 و 900 درجه سانتی‌گراد) اعمال ارتعاشات فراصوت در دو حالت 1- فشردن استاتیکی و 2- ارتعاش فراصوت همزمان 2- ابتدا فشردن استاتیک و سپس اعمال ارتعاش فراصوت در مرحله خرش حالت پایدار با تنش استاتیک 10.2 MN/m<sup>2</sup> انجام گرفت. در این تحقیق پودر در ناحیه شکم ارتعاشی قالب قرار گرفت و انقباض خطی نسبی هنگام فرآیند تفجیشی از نسبت تغییر در طول نمونه نسبت به طول اولیه اندازه‌گیری شد. آن‌ها بیان داشتند اعمال ارتعاش فراصوت در ابتدای فشرده‌سازی به فرآیند گذرا چگالش شتاب می‌دهد، اما اثر قابل توجهی بر مشخصه‌های خرش حالت پایدار ندارد (شکل 11-a).

کرومپ و همکارانش [40,39] به بررسی اثر اعمال ارتعاشات (استاتیک، فرکانس پایین 150Hz و فراصوت 22kHz) در فشردن داغ پودر کروی مس پرداختند. آن‌ها مشارکت سه مکانیزم خرش توانی، نفوذ و تغییر چیدمان ذرات را در نخر چگالش کل هنگام فشردن هم‌دما مورد بررسی قرار دادند. آن‌ها دریافتند با اعمال ارتعاشات فراصوت می‌توان به چگالی بالاتر، توزیع چگالی بهتر و دستیابی به ساختاری مستحکم‌تر دست یافته.

تسوچینو و همکارانش [42,41] در تحقیق خود به فشرده‌سازی پودر فلزها، آلیاژها و سرامیک‌های گوناگون در دمای محیط با مرتعش کردن سنبه‌های بالا و پایین و بدنه قالب پرداختند. آن‌ها مطالعه خود را روی دو سیستم متفاوت فشرده‌سازی اولتراسونیک انجام دادند: اعمال ارتعاشات به سنبه (طولی) و قالب (شعاعی) و همچنین به طور همزمان. نتایج آن‌ها نشان داد اعمال ارتعاشات به سنبه تأثیر بیشتری در افزایش چگالی دارد. با اعمال ارتعاشات به طور همزمان به سنبه و قالب می‌توان به بهترین نتیجه دست یافت (شکل 11-b).

#### 4-7- فرایندهای نوین شکل‌دهی (میکروفورمینگ، شکل‌دهی تدریجی (ECAP

با پیشرفت فرایندهای شکل‌دهی و ظهور فرایندهای نوین مانند میکروفورمینگ، شکل‌دهی تدریجی و ECAP برخی محققان به تحقیق در زمینه اعمال ارتعاشات فراصوت در این فرایندها پرداخته‌اند. در ادامه به نتایج برخی از این تحقیقات اشاره خواهد شد.

استحکام ماده آزمون فشار که در آن نمونه یک استوانه ساده با ابعاد استاندارد است. نتایج حاصل از اعمال ارتعاشات فراصوت در آهن‌گری مواد نشانگر کاهش تنش سیلان، کاهش ضریب اصطکاک بین سنبه، قالب و قطعه و کاهش برگشت فنری است. در این ارتباط در ادامه به نتایج برخی تحقیقات اشاره خواهد شد.

هانگ و همکارانش [33,32] در تحقیقات خود به بررسی اثر اعمال ارتعاشات فراصوت (فرکانس 20kHz و دامنه 5μm) در آهن‌گری داغ آلومینیوم پرداختند. نتایج آزمون‌ها نشان داد که اعمال ارتعاشات فراصوت در آزمون فشار هنگامی که اصطکاک کم است (در دمای محیط) سبب کاهش مؤثر تنش سیلان و نیروی فشاری شده و می‌تواند دمای ماده را افزایش دهد. به طور کلی اعمال ارتعاش فراصوت موجب افزایش دمای ماده، کاهش تنش سیلان و همچنین افزایش اصطکاک بین سطوح (یه دلیل افزایش دما) می‌شود.

همچنین مشاهده شد با افزایش دما بازده ارتعاشات فراصوت کاهش می‌یابد و دلایل آن را: الف- حاکم شدن خصوصیات خرش مواد با افزایش دما درنتیجه تغییر مکانیزم تغییر شکل نسبت به حالت در دمای اتاق و کاهش انرژی جذب شده از فراصوت و کاهش اثرگذاری فراصوت، ب- افزایش دمای بین قالب و قطعه و کاهش اثر کاهنده ضریب اصطکاک فراصوت بیان کردند. داود و همکارانش [35,34] اثر ارتعاشات فراصوت را بر نمونه‌های آلومینیومی در آزمون کشش و فشار به صورت آزمون‌های تجربی و اجزاء محدود تحلیل و بررسی کردند. نتایج نشان‌دهنده کاهش 30 درصد تنش سیلان در نمونه‌های آلومینیوم در مقایسه با حالت عادی بود. آن‌ها عنوان کردند کاهش اصطکاک برهمنه نهی تنش‌های استاتیک و ارتعاشی (فراصوت) و جذب ارتعاشات در تابه‌جایی‌ها از عوامل کاهش تنش سیلان است. این عوامل به تنها یک پاسخ‌گوی اثرات ارتعاشات فراصوت در فرایندهای شکل‌دهی نیستند. همچنین نرم‌شدنگی به دلیل تغییرات کم دما نمی‌تواند دلیل افزایش ناچیز دما باشد و لازم است نحوه جذب ارتعاشات فراصوت توسط میکروساختار ماده شناخته شود تا بتوان پدیده‌های هنگام اعمال ارتعاشات فراصوت در فرآیندهای شکل‌دهی را شرح داد.

#### 4-6- متالورژی پودر (فسردن پودر)

اعمال ارتعاشات فراصوت در فرایند متالورژی پودر، (فسردن سرد و داغ) کاهش نیروهای استاتیک و کاهش دما و زمان نیاز برای فرایند فشردن را امکان‌پذیر می‌سازد. اعمال ارتعاشات فراصوت در فرایند فشردن پودر موجب حرکت حجمی ذرات می‌شود که افزایش چگالش، یکنواختی ساختار و استحکام قطعه فشرده شده را در پی دارد.

لیفلت [36] در تحقیق خود به بررسی اثر ارتعاش فراصوت در فشردن سرد، فشردن داغ و اکستروژن پودر آهن پرداخت. او ارتعاشات را توسعه ترانسdiyosur فراصوت مگنتواستریکتیو<sup>1</sup> با فرکانس 20kHz و حداقل توان ارتعاشی فراصوت 400W ایجاد کرد. او بیان داشت اعمال ارتعاشات فراصوت قادر می‌سازد تا دمای کوره به اندازه ۵۰ °C کاهش یابد و این موضوع می‌تواند مزیت بزرگی در جلوگیری از تعییر فاز به حساب آید. چیدمان‌های مختلف اعمال ارتعاشات فراصوت در تحقیقات لیفلت در شکل 10 نشان داده شده است.

پوکریشو و همکارانش فشردن داغ تحت خلاء و اعمال ارتعاشات فراصوت

<sup>1</sup> Magnetostriuctive

(قالب) و قطعه کار است.

هدف از این بخش بررسی اثرات و مکانیزم‌های به وجود آورنده آن هنگام ارتعاشات فرآصوت در فرآیندهای شکل‌دهی است. در ادامه علاوه بر موارد پیشتر یادشده، نشانه‌های حاصل از آزمون‌ها، فرضیه‌ها و عوامل مختلف ارائه شده توسط محققین با ارائه مراجع مرتبط شرح بیشتری داده می‌شوند.

### 5-1-1- کاهش اصطکاک خارجی

تحقیقات در بررسی اثر اعمال ارتعاشات فرآصوت بر اصطکاک خارجی براساس دو رویه انجام شده است. در رویه نخست تأثیر فرآصوت بر ضربه و نیروی اصطکاک هنگام فرایندهای شکل‌دهی مختلف نظری کشش عمیق، کشش سیم و آزمون فشار مورد بررسی قرار گرفته است [34]. در رویه دوم چیدمان‌هایی برای اندازه‌گیری اصطکاک بین سطوح طراحی شد و با اعمال ارتعاشات مقدار تغییرات اصطکاک حاصل با مقادیر کمی بیان شده است [51-49].

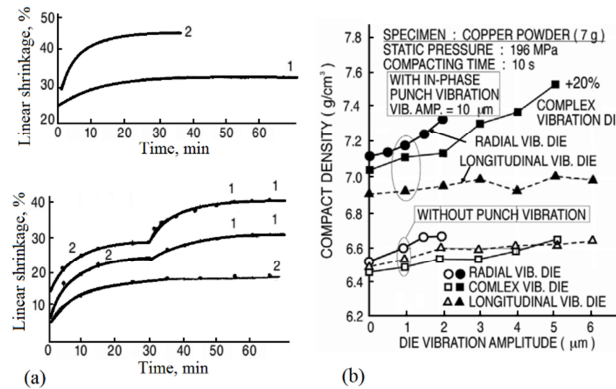
با اعمال ارتعاشات فرآصوت به ابزار یا قالب (در اغلب موارد) وابسته به جهت اعمال ارتعاشات فرآصوت و سرعت و جهت حرکت ماده ضربه اصطکاک کاهش می‌یابد. به دلیل کاهش ضربه و نیروی اصطکاک به واسطه اعمال ارتعاشات فرآصوت در بسیاری از مراجع این پدیده با عنوان «روان کاری فرآصوت» ساخته شده است [50]. البته این مستقل از مواردی است که به دلیل افزایش دما، ضربه اصطکاک افزایش می‌یابد [33]. عوامل مختلفی برای کاهش نیروی اصطکاک بیان شده است که از جمله می‌توان به تغییر جهت لحظه‌ای برآیند نیروی اصطکاک در سطوح تماس و تغییر ضربه اصطکاک ایستایی اشاره کرد.

در بین مقالات ارائه شده در این زمینه بیشترین ارجاع به تحقیقات پلمن و لهفلت [49] داده شده است. آن‌ها توسط یک چیدمان تماس ابزار و قطعه کار در حالت‌های مختلف سرعت و جهت تماس با و بدون حضور ارتعاشات فرآصوت بررسی کردند. نتایج تحقیقات آن‌ها نشان می‌دهد کاربرد فرآصوت تحت شرایط مناسب می‌تواند به طور قابل توجهی نیروهای اصطکاکی خارجی لازم برای تغییرشکل پلاستیک نمونه‌های فلزی را کاهش دهد، ولی با افزایش سرعت حرکت نسبی اثر کاهش ضربه اصطکاک فرآصوت از بین می‌رود. آن‌ها بیان کردند «اثر ارتعاشات فرآصوت در فرایندهای اصطکاکی تنها در حالت قابل ملاحظه است که سرعت نسبی تماس ابزار و قطعه در مقایسه با سرعت ذرات  $v = 2\pi f A$  کوچک باقی بماند» و بر همین اساس مفهوم «سرعت بحرانی» را ارائه کردند.

### 5-1-2- کاهش نیروهای شکل‌دهی و تنش سیلان

در اغلب آزمون‌های شکل‌دهی کاهش تنش تسیلیم و سیلان ماده مشاهده شده است. بررسی این پارامتر به دلیل وابستگی مستقیم نیروهای شکل‌دهی به آن در اغلب تحقیقات مشاهده می‌شود. میزان کاهش تنش سیلان به پارامترهای مختلفی مانند مقدار نیروهای استاتیک شکل‌دهی، توان و دامنه ارتعاشات، جنس مواد و پیشینه شکل‌دهی وابسته است.

برخی مانند کریستوفی این کاهش در نیروهای فرایند را وابسته به برهم نهی تنش‌ها دانسته‌اند [11] و برخی دیگر مانند لانگنکر این میزان کاهش نیرو را وابسته به کاهش تنش سیلان و فراتر از مسئله برهم نهی و وابسته به مکانیزم‌های افزایش دمای موضعی و ایجاد حرارت در نابه جایی‌ها (نرم‌شدنگی آکوستیکی) دانسته‌اند. آن‌ها بیان می‌دارند در نرم‌شدنگی فرآصوت، نابه جایی‌های قفل شده در اثر تغییر شکل‌های معمولی توسط ارتعاشات



**شکل 11** (a) انقباض خطی در فشردن داغ پودر آهن تحت فشار  $130 \text{ kgf/cm}^2$  (1) با و (2) بدون حضور فرآصوت در دمای مختلف، ب- رابطه بین دامنه ارتعاش قالب (27 kHz) و ارتعاش سنبه‌های بالا و پایین (20 kHz) و چگالی نمونه فشردن سرد مس

فرایند میکروفورمینگ شامل تمامی فرایندهای اشاره شده پیشین است با این تفاوت که در ابعاد میلی‌متر و زیر میلی‌متر انجام می‌گیرد. یا تو سرگره تحقیقاتی دانشگاه آیووا [44,43] ارتعاشات فرآصوت را بر برخی از فرایندهای شکل‌دهی در ابعاد میلی‌متری (میکروفورمینگ) اعمال کرد. در تحقیقات او از گونه‌ای جدید از ترانسدیوسرهای مگنتواستریکتیو بر پایه ماده تفنول-D برای اعمال ارتعاشات به سنبه و قالب بهره برده شد. در اغلب تحقیقات در این زمینه کاهش نیروهای شکل‌دهی مشاهده و عامل اصلی آن نرم‌شدنگی آکوستیکی بیان شد. او چیدمانی طراحی کرد تا هنگام اعمال ارتعاشات فرآصوت بتواند نیروهای لحظه‌ای را اندازه‌گیری کند.

وحدتی و همکاران [46,45] اثر ارتعاشات فرآصوت را بر توسعه فرایند شکل‌دهی تدریجی ورق فلزی با تحقیق درباره اثر آن بر مؤلفه عمودی نیروهای شکل‌دهی و پدیده برگشت فنری مورد بررسی قرار دادند. نتایج آنان نشان داد که انتقال و اعمال فرآصوت موجب کاهش میانگین نیروهای شکل‌دهی (طی حرکات عمودی و افقی ابزار مرتعش به ترتیب به میزان 23.5% و 26.3%) و کاهش میزان برگشت فنری نمونه شکل‌دهی می‌شود. احمدی و همکاران [48,47] اثر اعمال فرآصوت را در فرایند ECAP مورد بررسی اجزاء محدود و تجربی قرار دادند. آن‌ها بیان داشتند اعمال ارتعاشات فرآصوت در دامنه‌های 2.5 و 5 میکرومتر موجب کاهش اندازه دانه‌های نمونه حاصل از 45 به ترتیب 28.2 و 22 میکرومتر می‌شود، همچنین اعمال فرآصوت موجب دستیابی به نمونه‌های همگن‌تر و با استحکام تسیلیم و نهایی بالاتر نسبت به نمونه‌های معمول می‌گردد.

## 5-بحث

### 5-1- اثر اعمال ارتعاشات

ارتعاش اولتراسونیک روی خواص مکانیکی و میکروساختاری مواد تأثیرگذار است. تمام محققین این حقیقت را پذیرفته و همه آن‌ها معتقدند که اثر ارتعاش اولتراسونیک روی مواد را می‌توان به دو دسته اثر حجمی و اثر سطحی تقسیم کرد. مهم‌ترین موضوعاتی که در مورد اثر حجمی فرآصوت بر خواص تغییر شکل پلاستیک مواد توجه محققان را به خود جلب کرده است، نرم‌شدنگی (هنگام اعمال ارتعاشات) و سخت‌شدنگی (پس از برداشتن ارتعاشات) است. اثر سطحی شامل تغییر شرایط اصطکاکی خارجی بین ابزار

شوری «برهم نهی تنشها» می‌گوید با اعمال ارتعاشات فراصوت هنگام شکل دهنده، تنش‌های فراصوت به تنش‌های استاتیک اضافه می‌شوند و برهم نهی این دو اتفاق می‌افتد. این فرضیه تأکید می‌کند که رفتار پلاستیک ماده به واسطه اعمال ارتعاشات فراصوت تغییر نمی‌کند بلکه تسلیم و سیلان ماده تنها به دلیل جمع آثار تنش‌های استاتیک و فراصوت به وجود می‌آید. برخی از محققان مانند کریستوفی، نویل و بروتن، پولمن و لیفلت، سانسومه (سرگروه تحقیقاتی دانشگاه آستون بیرمنگهام) بر این فرضیه تأکید دارند. شکل 12 رابطه خطی بین کاهش نیروهای شکل دهنده و مقدار نیروی استاتیک در عملیات آهن‌گری سرد فراصوت را در تحقیقات کریستوفی بر آلیاژ الومینیوم AA1100 نشان می‌دهد [11].

#### 5-2-1- ایجاد و جابه‌جایی نابه‌جایی‌ها

در فرضیه «ایجاد و جابه‌جایی نابه‌جایی‌ها» می‌توان بیان داشت نابه‌جایی‌هایی که هنگام تغییر شکل به موانع برخورد می‌کنند می‌توانند میزان تنش تسلیم یا نرم‌شدنگی فراصوت فعال گرددند، که این به عنوان پدیده کاهش تنش تسلیم یا نرم‌شدنگی آکوستیکی شناخته می‌شود. قابلیت حرکت نابه‌جایی‌ها به طور قابل ملاحظه‌ای تحت تأثیر میدان فراصوت افزایش می‌یابد و مقاومت کمتری از طرف موانع مشاهده می‌شود. تحقیقات آبرامو [2] و پوسکار [57] نشان می‌دهد که اعمال ارتعاش فراصوت موجب افزایش چگالی نابه‌جایی‌ها و تمرکز عیوب‌های نقطه‌ای می‌شود. براساس این فرضیه اعمال میدان آکوستیک فراصوت موجب افزایش چگالی نابه‌جایی‌ها از طریق کاهش تنش ترشی در سیستم لغزش و نیز تسهیل در حرکت نابه‌جایی‌ها می‌شود.

#### 5-2-2- افزایش دمای موضعی و کل ماده

فرضیه افزایش دمای موضعی بیان می‌دارد با اعمال ارتعاشات فراصوت، انرژی آکوستیک توسط عیوب در ساختار کریستالی فلزات جذب شده و آثار حرارت ناشی از اتلاف انرژی در ماده موجب افزایش دمای موضعی در موقعیت‌های میکروسکوپی مانند مرزدانه‌ها، عیوب‌های کریستالی و نابه‌جایی‌ها می‌شوند [58,57] در نتیجه این مسئله تسهیل حرکت نابه‌جایی‌ها از موانع هنگام تغییر شکل و کاهش تنش سیلان ماده را دریبی دارد.

#### 5-3- پارامترهای فرایند شکل دهنده به کمک ارتعاشات فراصوت

پارامترهایی که در فرایند شکل دهنده تأثیرگذارند عبارتند از فرکانس فراصوت، دامنه ارتعاش، نیروی استاتیک شکل دهنده، توان، انرژی و زمان اعمال ارتعاشات، خصوصیات ماده تحت عملیات، هندسه قطعه کار و مشخصه‌های

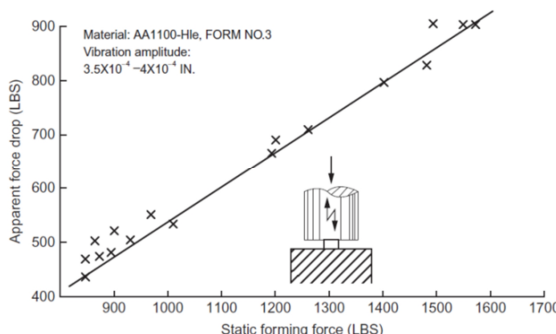


Fig. 12 Linear relation between apparent forming force drop and static forming force in ultrasonic cold forging [11]

شکل 12 رابطه خطی بین کاهش نیروهای شکل دهنده و مقدار نیروی استاتیک در عملیات آهن‌گری سرد فراصوت

فراصوت فعال شده و سبب کاهش تنش در تغییر شکل‌های پلاستیک بیشتر می‌شود.

#### 5-3-3- سخت‌شدگی و نرم‌شدنگی پس از اعمال فراصوت (پسماند)

در حالت سخت‌شدگی فراصوتی در اثر اعمال انرژی فراصوت، ساختار کریستالی ماده دچار دگرگونی شده و با افزایش و توسعه این دگرگونی‌ها، استحکام تسلیم آن افزایش یافته و سخت‌شدگی فراصوت رخ می‌دهد. برخی از محققان از جمله لانگنکر پدیده سخت‌شدگی پس از برداشتن ارتعاشات فراصوت را گزارش کردند. این پدیده اغلب در مواردی که توان و شدت بالای فراصوت به ماده اعمال شود و یا به بیان دیگر مقدار تنش ارتعاشی از يك مقدار آستانه تجاوز کند دیده می‌شود [52].

نرم‌شدنگی پسماند در تحقیقات هوآنگ بر شکل‌پذیری مس و نقره تحت ارتعاشات فراصوت مشاهده شد (13% برای مس و 8% برای نقره). آن‌ها این نرمی پسماند را به تعادل بین آنیل و بازیابی دینامیک و ایجاد و حرکت نابه‌جایی‌ها نسبت دادند [53].

#### 5-4- تغییر مدول الاستیک ماده

اگرچه بیشتر محققان به کاهش تنش سیلان ماده اذعان کرده‌اند، اما تنها نتایج تعداد محدودی از تحقیقات نشانگر کاهش مدول الاستیک و یا تغییر رفتار ماده در ناحیه الاستیک بوده‌اند [10] و بسیاری از محققان بر عدم تأثیرگذاری ارتعاشات فراصوت در ناحیه الاستیک صحه گذاشته‌اند [54,49]. درنتیجه شواهد در این زمینه ضد و نقیض است.

#### 5-5-1- افزایش دمای قابل ملاحظه

با اعمال ارتعاشات فراصوت در اغلب موارد افزایش دمای محدود ملاحظه می‌گردد. در برخی موارد با اعمال ارتعاشات فراصوت در شدت و توان بالا، با گذشت 30-20 ثانیه دما تا 200°C افزایش یافته است. ایجاد حرارت موضعی در نواحی ناپیوستگی نظیر ترک‌های خستگی، عیوب‌های ایجاد شده در ساختار ماده و مز دانه‌ها مهم‌ترین عوامل افزایش دما به واسطه اعمال ارتعاشات فراصوت معروف شده‌اند [56,55].

#### 5-5-2- عوامل تئوریک

به منظور بررسی اثر اعمال ارتعاشات فراصوت در فرآیندهای شکل دهنده لازم است در کنار مشاهدات و پدیده‌های مکروسکوپی، به بررسی مکانیزم‌ها و پدیده‌هایی که به واسطه اعمال ارتعاشات فراصوت در رفتار مواد به وجود می‌آید نیز پرداخته شود. اغلب پدیده‌ها و مکانیزم‌های بیان شده در قالب فرضیه‌هایی است که از مشاهدات مکروسکوپی برگرفته شده‌اند. دلیل این امر عدم امکان پذیری بررسی مکروسکوپی و مکروساختاری ماده هنگام تغییر شکل به کمک ارتعاشات فراصوت است.

براساس مطالعات آبرامو [2] شکل دهنده فراصوت فلزات به تأثیرات فیزیکی ارتعاش بر حجم و سطح فلز تحت عملیات وابسته است. دامنه این اثرات گستره و شامل جذب انرژی، ایجاد نابه‌جایی‌ها و تغییر شکل پلاستیک، نفوذ، ایجاد حرارت، تبدیل فاز، خستگی و تغییر در اصطکاک سطح است. در این بین برخی تأثیر ارتعاشات بر رفتار پلاستیک ماده را ناچیز انگاشته و تنها برهم نهی تنش‌های استاتیک حاصل از شکل دهنده و فراصوت در کاهش نیروهای استاتیک تغییر شکل تأکید دارند.

#### 5-6- برهم نهی تنش‌ها

ارتعاشات به ابزار چرخشی است. در مجموعه هایی که ابزار دارای حرکت چرخشی است، اعمال ارتعاشات به ابزار به مرائب سخت تر و باید از مجموعه های انتقال قدرت برق چرخان مانند اسلیپ رینگ استفاده کرد و تمیهیدات لازم را برای به کمینه رساندن انتقال ارتعاشات به یاتاقان مورد نظر قرار داد.

در فرایندهای صنعتی نصب و برداشتن سیستم ارتعاشی از روی قطعه زمان بر است. درنتیجه به دلیل نیاز به نزد بالای تولید و صرفه جویی در زمان انجام فرایند بهتر است ارتعاشات به ابزار یا قالب اعمال شود (مانند اعمال ارتعاشات به سنبه در جوش کاری فرآصنوت پلاستیکها). در اغلب فرایندها مانند کشش عمیق و فشردن پودر اعمال ارتعاشات به صورت ترکیبی و به طور همزمان به ابزار و قالب نتایج مطلوب تری در کاهش نیروها خواهد داشت.

#### 6- آینده تحقیقات فرآصنوت

اگلبا نتایج رائه شده در این مقاله و تحقیقات مشابه در طبقه بندی تحقیقات علمی دانشگاهی قرار می گیرند و تنها تعداد محدودی از تحقیقات در زمینه اعمال ارتعاشات فرآصنوت در فرایندهای شکل دهنده در ابعاد کاربردهای صنعتی گسترش یافته اند. استفاده از این فناوری امروزه در بسیاری از کاربردهای صنعتی مانند جوش کاری پلاستیکها و فلزات، عملیات روی مایعات، شستشوی فرآصنوت و ... روبه گسترش است. باید توجه داشت تنها راه بهره گیری از نتایج تحقیقات در یک فناوری، صنعتی سازی آن است. بدین منظور با هدف صنعتی سازی اعمال ارتعاشات فرآصنوت در فرایندهای مختلف شکل دهنده در آینده نزدیک نیازمندی ها و نکات زیر باید مورد نظر قرار گیرند:

1- افزایش توان فرآصنوت: بسیاری از فرایندهایی که ارتعاشات فرآصنوت به آنها اعمال شده در ابعاد نیروهای کوچک است. با توجه به نتایج خوب فرآصنوت در این ابعاد لازم است این فناوری برای استفاده در کاربردهای صنعتی بزرگ نمایی شود. بدین منظور باید بتوان ترانسیدیوسراها و منابع تغذیه با توان بالاتر (تا حدود 10kW) با قابلیت تنظیم دقیق فرکانس تحریک و دیگر پارامترهای کنترلی توان و دامنه ارتعاش طراحی و ساخت را به کار برد. در این زمینه مسئله خنک کاری ترانسیدیوسر (پیزوها و الکتروودها) با توجه به مصرف و اتلاف انرژی زیاد در آنها در توان های بالا از اهمیت بسزایی برخوردار است. بدین منظور می توان از فن های خنک کاری و جکت های آب در نواحی نزدیک به پیزوها و الکتروودها بهره برد.

2- فناوری مولدهای قدرت خود تنظیم فرکاس: هنگام فرایندهای شکل دهنده، نیروها و شرایط مرزی بین ابزار و قطعه کار تغییر می کند و به واسطه جذب انرژی ارتعاشی در ناحیه شکل دهنده و یا اتلاف انرژی در ترانسیدیوسر و مجموعه ارتعاشی افزایش دما مشاهده می شود. این عوامل موجب تغییر در فرکانس رزونانس مجموعه ارتعاشی می شود و کاهش توان ارتعاشات را در پی دارد. استفاده از مولدهای قدرت خود تنظیم فرکانس و بهینه کردن روش های کنترلی برای یافتن حالت کارکرد با بیشترین بازده ارتعاشات فرآصنوت از لازمه های پیشرفت در این فناوری است.

3- بزرگ نمایی ابعاد فرایند: بسیاری از فرایندهای نظیر کشش عمیق و آهن گری بر اساس ابعاد قطعات صنعتی مورد استفاده در صنایعی مانند اتموبیل و هواپیما نیاز به بزرگ نمایی دارند. ابعاد اغلب قطعات در این صنایع بسیار بزرگ تر از نمونه های مورد استفاده در اغلب تحقیقات ارائه شده است. در کنار استفاده از ترانسیدیوسرهای توان بالا می توان از روش های نوین برای اعمال ارتعاشات فرآصنوت بر نواحی انتخابی و یا بحرانی تغییر شکل در قطعات و ابزارهای بزرگ تر بهره جست.

ابزار. این پارامترها از یکدیگر مستقل نیستند. برای نمونه انرژی فرآصنوت به رابطه توان زمان و دامنه ارتعاش به مقدار توان ترانسیدیوسر وابسته است. در ادامه برخی از پارامترها با شرح بیشتری مطرح می شوند.

نوع ماده: تاکنون اعمال ارتعاشات فرآصنوت بر مواد مختلفی از تک کریستال روی تا مواد پلی کریستال نظیر آلومینیوم خالص، آلومینیوم آلیاژی، آلیاژ های تیتانیوم، فولاد و ... انجام گرفته است. آن چه از نتایج برم آید آلومینیوم خالص بهترین گزینه برای آغاز بررسی تأثیرگذاری ارتعاشات فرآصنوت در یک فرایند شکل دهنده است.

نیروهای استاتیک شکل دهنده و بزرگ نمایی بوستر یا هورن: مقدار بزرگ نمایی دامنه ارتعاش توسط بوستر یا هورن در میزان اعمال نیروهای استاتیک تأثیرگذار است. برای شرح بهتر اثر ضرب بزرگ نمایی دامنه نمونه ای بیان خواهد شد. بوستر یا هورن با ضرب بزرگ نمایی بالا مانند دنده پنج یک ماشین با سرعت بالا و گشتاور پایین عمل می کند. بر عکس ضرب بزرگ نمایی پایین تر مانند حرکت ماشین در دنده یک (سنگین) با ایجاد سرعت کم اما گشتاور بالا عمل می نماید و دارای قابلیت اعمال نیروی زیاد است و تحت اعمال بار استاتیک صدها کیلوگرم ارتعاش می نماید. به همین دلیل در استفاده از یک هورن یا بوستر با ضرب بزرگ نمایی زیاد، در نیروهای استاتیک زیاد هورن از ارتعاش باز می استد. مانند یک ماشین که با دنده سه در یک سریالی با شبیه زیاد از حرکت باز می استد [5].

شکل 13 تأثیر ضرب بزرگ نمایی بوستر (1, 1.5, 2, 2.5) در تغییر نیروی مورد نیاز برای دستیابی به بیشینه نیروی استاتیک را نشان می دهد. در فرایندهای با نیروی استاتیک بالا برای اجتناب از افت شدید اثر ارتعاشات فرآصنوت باید از بوسترهای با ضرب بزرگ نمایی کمتر استفاده کرد. برای نمونه بوستر سبز رنگ با بزرگ نمایی 1 بیشترین نیروی استاتیک (خط سیاه ممتد در نمودار) و بوستر سیاه رنگ با بزرگ نمایی 2.5 بیشترین دامنه ارتعاش را نتیجه می دهد.

اعمال ارتعاشات به قطعه، ابزار یا قالب: انتخاب اعمال ارتعاشات مکانیکی به قطعه یا ابزار نیز یکی از پارامترهای تأثیرگذار بر نتایج حاصل است. به دلیل موقعیت ثابت قطعه کار، اغلب اعمال ارتعاشات به آن آسان تر از اعمال

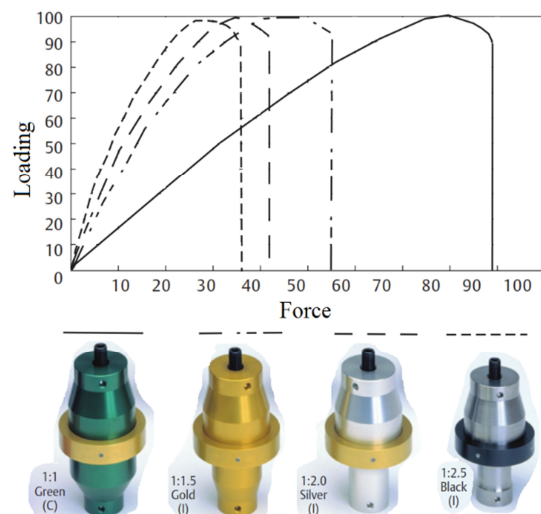


Fig. 13 Effect of amplitude increasing boosters gain (1, 1.5, 2, 2.5) on changing the force required to obtain peak loading [5]

شکل 13 تأثیر ضرب بزرگ نمایی بوستر (1, 1.5, 2, 2.5) در تغییر نیروی مورد نیاز برای دستیابی به حداکثر نیروی استاتیک

**جدول ۱** خلاصه کاربردها، مکانیزم‌ها، مزایا و پارامترهای اعمال ارتعاشات فراصوت در فرآیندهای شکل دهنده

**Table 1** Summary of the applications, mechanisms, advantages and parameters of Ultrasound-Assisted Forming Processes

کاربردها	مراجع	تأثیر/ مکانیزم	مزایا	پارامترها
آزمون کشش	[13] [14] [10] [35]	کاهش تنفس تسیلیم کاهش استحکام نهایی	کاهش نیروهای تغییر شکل	توان و دامنه ارتعاش نوع ماده
کشش عمیق و اسپینینگ لوله	[11] [16] [18] [19]	کاهش مقاومت تغییر شکل کاهش ضرب اصطکاک	افزایش حد شکل دهنده کاهش احتمال پارگی نیروی ورق گیر	توان و دامنه ارتعاش نیروی ورق گیر
چکش کاری فراصوت	[23] [24] [25] [26]	حذف تنفس پسماند کششی ایجاد تنفس پسماند فشاری	افزایش عمر خستگی افزایش مقاومت به خودگی	توان و دامنه ارتعاش ابعاد پین و نیروی استاتیک
کشش سیم و لوله	[27] [28] [29] [30]	کاهش تنفس سیلان کاهش ضرب اصطکاک	کاهش نیروهای کشش کاهش مراحل کشش	توان و دامنه ارتعاش سرعت کشش سیم نیروی کشش
آهن گری و آزمون فشار	[11] [32] [33] [34]	کاهش تنفس سیلان کاهش ضرب اصطکاک	کاهش نیروهای شکل دهنده کاهش برگشت فنری	توان و دامنه ارتعاش نیروی استاتیک نوع ماده
متالورژی پودر	[36] [37] [38] [39] [40] [41]	کاهش تنفس سیلان کاهش نیروهای اصطکاک	افزایش نرخ چگالش بکنوختی ساختار	توان و دامنه ارتعاش دمای عملیات
فرایندهای نوین	[43] [44] [46] [47] [48] [61]	کاهش تنفس سیلان کاهش نیروهای اصطکاک	استحکام قطعه فشرده شده ریز دانه شدن مواد	توان و دامنه ارتعاش شكل ابزار و ابعاد قطعه

می‌دهد. با جمع‌بندی نتایج و بحث‌های ارائه شده در این مقاله جدول ۱ خلاصه کاربردها، مکانیزم‌های تأثیرگذار، مزایا و پارامترهای اعمال ارتعاشات فراصوت در فرآیندهای مختلف شکل دهنده را نشان می‌دهد. نتایج حاصل از اعمال ارتعاشات فراصوت در فرآیندهای شکل دهنده را می‌توان به شرح زیر ارائه کرد:

- ✓ در فرآیندهای شکل دهنده به کمک فراصوت، ارتعاشات مکانیکی با دامنه و فرکانس مشخص به تمام یا بخشی از قطعه کار، قالب، ابزار و یا ترکیبی از آن‌ها در جهتی یا جهاتی مشخص اعمال می‌شود.
- ✓ اثرات اعمال ارتعاشات فراصوت را می‌توان به اثرات سطحی و حجمی تقسیم بندی کرد. از مهم‌ترین اثرات سطحی، کاهش اصطکاک بین ذرات مواد و یا مواد با قالب و از مهم‌ترین اثرات حجمی می‌توان به کاهش تنفس سیلان ماده اشاره کرد.
- ✓ اثرات اعمال ارتعاشات فراصوت را می‌توان به اثرات هنگام اعمال ارتعاشات (کاهش تنفس سیلان و کاهش اصطکاک) و اثرات پس از برداشتن ارتعاشات (سخت‌شوندگی و نرم‌شوندگی پسماند) تقسیم‌بندی کرد.
- ✓ مهم‌ترین پدیده‌هایی که می‌توان اثرات حجمی ارتعاشات فراصوت را به آن‌ها نسبت داد عبارتند از: برهمنی تنش‌های استاتیک و فراصوت، ایجاد و تسهیل در جایه‌جایی نایه‌جایی‌ها و افزایش دمای موضعی. برای این که بتوان به درستی این پدیده‌ها را توجیه کرد باید شرایط انجام آزمون شامل خصوصیات و پیشینه تغییر شکل پیشین ماده و پارامترهای شرایط محیطی (دما) و ارتعاشات فراصوت (فرکانس، توان و مود ارتعاش) را نیز در نظر گرفت.

4- زمینه‌های جدید تحقیق: همچنان که بزرگنمایی یک نیاز برای گسترش فناوری فراصوت پرتوان است، کوچک کردن ابعاد برای استفاده در کاربردهایی نظیر میکروفورمینگ می‌تواند زمینه‌ای برای توسعه صنعتی فناوری فراصوت باشد، همچنین استفاده از فراصوت برای مواد جدید و یا بهبود کیفیت قطعات تولیدی به روش‌های صنعتی شکل دهنده نیز زمینه مناسبی برای گسترش این فناوری است.

5- مدل‌سازی: مدل‌سازی فرآیندهای شکل دهنده به کمک ارتعاشات فراصوت برای پیش‌بینی و بهینه‌سازی شکل دهنده رفتار مواد در این زمینه استفاده می‌شود [60,59]. بدین منظور می‌توان از نرم‌افزارهای شبیه‌سازی مانند آباکوس<sup>1</sup>، انسیس<sup>2</sup> و دی‌فرم<sup>3</sup> بهره گرفت. جهت دستیابی به نتایج نزدیک به واقعیت لازم است از نتایج آزمون‌های تجربی مانند کشش و فشار به عنوان داده‌های ورودی در فرایند شبیه‌سازی استفاده شود.

6- استفاده از تجهیزات پیشرفته برای بررسی رفتار ماده: می‌توان از وسایل اندازه‌گیری نیروی لحظه‌ای با پاسخ فرکانسی زیاد برای اندازه‌گیری نیروی وارد بر ابزار استفاده کرد تا تغییک نیروی دو مکانیزم پیوسته و ضربه‌ای - ارتعاشی امکان‌پذیر باشد. برای بررسی‌های میکروسکوپی می‌توان از میکروسکوپ‌های الکترونی (پس از تغییر شکل) و میکروسکوپ‌های حرارتی (حين تغییر شکل) بهره گرفت.

## 7-نتیجه‌گیری

استفاده از ارتعاشات فراصوت هنگام عملیات شکل دهنده مواد دارای مزایای قابل توجهی است که محققان و صنعت‌گران را به سمت استفاده از آن سوق

<sup>1</sup> ABAQUS

<sup>2</sup> ANSYS

<sup>3</sup> DEFORM

## 8-مراجع

- [24] S. Statnikov, Guide for application of ultrasonic impact treatment improving fatigue life of welded structures, *International Institute of Welding*, Vol. 1757, No. 99, pp. 1-17, 1999.
- [25] A. Abdullah, M. Malaki, A. Eskandari, Strength enhancement of the welded structures by ultrasonic peening, *Materials & Design*, Vol. 38, No. 2, pp. 7-18, 2012.
- [26] R. abedini, A. Abdullah, *Design and Manufacturing of Ultrasonic Peening Gun*, MSc Thesis, Mechanical engineering, Amirkabir university of technology, Tehran, 2012. (in Persian) (فارسی)
- [27] N. Atanasius, The wire drawing process with axial ultrasonic vibration of the die, *Ultrasonics*, Vol. 14, No. 2, pp. 69-72, 1976.
- [28] E. Lehfeldt, Wire drawing with superimposed ultrasonic vibrations, *Wire Drawing*, Vol. 102, No. 1, pp. 205-213, 1969.
- [29] M. Murakawa, M. Jin, The utility of radially and ultrasonically vibrated dies in the wire drawing process, *Materials Processing Technology*, Vol. 113, No. 1, pp. 81-86, 2001.
- [30] M. Hayashi, M. Jin, S. Thippakrmas, M. Murakawa, J.-C. Hung, Y.-C. Tsai, C.-H. Hung, Simulation of ultrasonic-vibration drawing using the finite element method (FEM), *Materials Processing Technology*, Vol. 140, No. 1, pp. 30-35, 2003.
- [31] A. Abdullah, M. Paknejad, S. Dashti, A. Pak, A. M. Beigi, Theoretical and experimental analyses of ultrasonic-assisted indentation forming of tube, *Proceedings of the Institution of Mechanical Engineers, Part B: Engineering Manufacture*, Vol. 228, No. 3, pp. 388-398, 2014.
- [32] J.-C. Hung, C. Hung, The influence of ultrasonic-vibration on hot upsetting of aluminum alloy, *Ultrasonics*, Vol. 43, No. 8, pp. 692-698, 2005.
- [33] J.-C. Hung, Y.-C. Tsai, C. Hung, Frictional effect of ultrasonic-vibration on upsetting, *Ultrasonics*, Vol. 46, No. 3, pp. 277-284, 2007.
- [34] Y. Daud, M. Lucas, Z. Huang, Superimposed ultrasonic oscillations in compression tests of aluminium, *Ultrasonics*, Vol. 44, pp. 511-515, 2006.
- [35] Y. Daud, M. Lucas, Z. Huang, Modelling the effects of superimposed ultrasonic vibrations on tension and compression tests of aluminium, *Materials Processing Technology*, Vol. 186, No. 1-3, pp. 179-190, 2007.
- [36] E. Lehfeldt, The effect of ultrasonic vibrations on the compacting of metal powders, *Ultrasonics*, Vol. 5, No. 4, pp. 219-223, 1967.
- [37] V. Pokryshev, V. Marchenko, Effect of ultrasound oscillations on the consolidation of iron powder in hot pressing, *Soviet Powder Metallurgy and Metal Ceramics*, Vol. 8, No. 2, pp. 110-112, 1969.
- [38] V. Pokryshev, M. Koval'chenko, V. Marchenko, Vacuum hot pressing of metal powders under the action of ultrasonic vibrations, *Soviet Powder Metallurgy and Metal Ceramics*, Vol. 10, No. 10, pp. 790-794, 1971.
- [39] W. Kromp, P. Trimmel, F. Prinz, J. Williams, Vibratory compaction of metal powders, *Modern Developments in Powder Metallurgy*, Vol. 15, No. 17, pp. 131-141, 1985.
- [40] K.-H. Staffa, P. Trimmel, W. Kromp, N. Claussen, Vibratory Hot Pressing of Spherical Copper Powder at 150 and 20000 Hz. Part II: Comparison of Experimental and Theoretical Results, *Powder Metallurgy International*, Vol. 18, No. 2, pp. 66-70, 1986.
- [41] J. Tsujino, N. Shimada, Y. Saotome, E. Sugimoto, Compacting of various metal, alloy and ceramic powder using 20 kHz ultrasonic vibration compacting equipments with upper and lower vibration punches, *IEEE International Ultrasonics Symposium Proceedings*, Japan, pp. 1985-1988, 2009.
- [42] J. Tsujino, Compacting of various metal, alloy and ceramic powder using 20 kHz ultrasonic vibration compacting equipments with upper and lower vibration punches, *IEEE International Ultrasonics Symposium Proceedings*, pp. 1985-1988, 2009.
- [43] Z. Yao, G.-Y. Kim, L. Failey, Q. Zou, D. Mei, Z. Chen, Effects of superimposed high-frequency vibration on deformation of aluminum in micro/meso-scale upsetting, *Materials Processing Technology*, Vol. 212, No. 3, pp. 640-646, 2012.
- [44] Z. Yao, G.-Y. Kim, L. Failey, Q. Zou, D. Mei, Z. Chen, Micro pin extrusion of metallic materials assisted by ultrasonic vibration, *Proceeding of International Manufacturing Science and Engineering Conference*, Pennsylvania, USA, October 12-15, 2010.
- [1] M. Lucas, A. Gachagan, A. Cardoni, Research applications and opportunities in power ultrasonics, *Proceedings of the Institution of Mechanical Engineers, Part C: Mechanical Engineering Science*, Vol. 223, No. 12, pp. 2949-2965, 2009.
- [2] O. V. Abramov, *High-intensity ultrasonics: theory and industrial applications*, pp. 15-21, CRC Press, USA, 1999.
- [3] D. Ensminger, *Ultrasonics: Fundamentals, Technology, Applications*, pp. 45-110, Boca Raton: Taylor & Francis, 1988.
- [4] T. L. Matt Short, *Ultrasonics: Capabilities Overview*, EWI Advanced Ultrasonics, Accessed on 1 September 2010; <http://www.EWI.com>.
- [5] B. Branson, *Branson Technical Information*, Accessed on 20 September 2015; <http://www.emersonindustrial.com/en-US/branson/Pages/home>.
- [6] G. I. Prokopenko, O. I. Kozlov, J. I. Kleiman, P. P. Micheev, V. V. Knyshev, Y. F. Kudryavtsev, *Device for ultrasonic peening of metals*, US Patents No. 6467321 B2, 2002.
- [7] A. Pak, A. Abdullah, Correct Prediction of the Vibration Behavior of a High Power Ultrasonic Transducer by FEM Simulation, *Advanced Manufacturing Technology*, Vol. 39, No. 1, pp. 21-28, 2008.
- [8] A. Abdullah, M. Shahini, A. Pak, An approach to design a high power piezoelectric ultrasonic transducer, *Electroceramics*, Vol. 22, No. 4, pp. 369-382, 2009.
- [9] J. A. Gallego-Juárez, K. F. Graff, *Power Ultrasonics: Applications of High-Intensity Ultrasound*, First Edition, pp. 337-431, London: Elsevier Science, 2014.
- [10] B. Langenecker, Work-softening of metal crystals by alternating the rate of glide strain, *Acta metallurgica*, Vol. 9, No. 10, pp. 937-940, 1961.
- [11] I. Kristoffy, Metal forming with vibrated tools, *Manufacturing Science and Engineering*, Vol. 91, No. 4, pp. 1168-1174, 1969.
- [12] V. Fartashvand, A. Abdullah, S. A. Sadough Vanini, Investigation of Ti-6Al-4V alloy Acoustic Softening, *Ultrasonics Sonochemistry*, Accepted Manuscript, 2016.
- [13] F. Blaha, B. Langenecker, Tensile deformation of zinc crystal under ultrasonic vibration, *Naturwissenschaften*, Vol. 42, No. 556, pp. 1-10, 1955.
- [14] B. Langenecker, Effects of ultrasound on deformation characteristics of metals, *IEEE transactions on sonics and ultrasonics*, Vol. SU-13, No. 1, pp. 1-8, 1966.
- [15] Y. Huang, Y. Wu, J. Huang, The influence of ultrasonic vibration-assisted micro-deep drawing process, *Advanced Manufacturing Technology*, Vol. 71, No. 5-8, pp. 1455-1461, 2014.
- [16] I. Kristoffy, R. Kegg, R. Weber, *Influence of Vibrational Energy on Metalworking Processes*, Final Technical Report on AFML-TR-65-211, Air Force Materials Laboratory, Wright-Patterson Air Force Base, Ohio, July, 1965.
- [17] T. Jimma, Y. Kasuga, N. Iwaki, O. Miyazawa, E. Mori, K. Ito, H. Hatano, An application of ultrasonic vibration to the deep drawing process, *Materials Processing Technology*, Vol. 80, pp. 406-412, 1998.
- [18] M. sohrabifar, *Experimental Investigation of ultrasonic assisted deep drawing*, MSC Thesis, Mechanical engineering, Shahid rajayi, Tehran, Iran, 2010.
- [19] M. Rasoli, A. Abdullah, M. Farzin, A. F. Tehrani, A. Taherizadeh, Influence of ultrasonic vibrations on tube spinning process, *Materials Processing Technology*, Vol. 212, No. 6, pp. 1443-1452, 2012.
- [20] M. Honarpisheh, V. Zandian, Investigation of residual stresses in stress-relieved samples by heat treatment and ultrasonic methods using hole-drilling method, *Modares Mechanical Engineering*, Vol. 14, No. 15, pp. 273-278, 2015. (in Persian) (فارسی)
- [21] M. Shalvandi, Y. Hojjat, A. Abdullah, H. Asadi, Experimental evaluation of ultrasonic stress relieving on steel specimens considering grain size effect, *Modares Mechanical Engineering*, Vol. 12, No. 4, pp. 21-33, 2012. (in Persian) (فارسی)
- [22] M. Malaki, H. Ding, A review of ultrasonic peening treatment, *Materials & Design*, Vol. 87, pp. 1072-1086, 12/15/ 2015.
- [23] E. S. Statnikov, O. V. Korolkov, V. N. Vityazev, Physics and mechanism of ultrasonic impact, *Ultrasonics*, Vol. 44, No. 1, pp. 533-538, 2006.

- [53] H. Huang, A. Pequegnat, B. Chang, M. Mayer, D. Du, Y. Zhou, Influence of superimposed ultrasound on deformability of Cu, *Applied Physics*, Vol. 106, No. 11, pp. 113514, 2009.
- [54] G. Nevill, F. R. Brotzen, The effect of vibrations on the static yield strength of a low-carbon steel, *Proceeding-American Society for Testing Material*, Vol. 57, pp. 751-758, 1957.
- [55] O. Izumi, K. Oyama, Y. Suzuki, Effects of superimposed ultrasonic vibration on compressive deformation of metals, *Transactions of the Japan institute of metals*, Vol. 7, No. 3, pp. 162-167, 1966.
- [56] R. Mignogna, R. Green, J. Duke, E. Henneke, K. Reifsneider, Thermographic investigation of high-power ultrasonic heating in materials, *Ultrasonics*, Vol. 19, No. 4, pp. 159-163, 1981.
- [57] A. Puskar, *The use of high-intensity ultrasonics*, pp. 30-70, Elsevier Scientific Publishing Company, USA, 1982.
- [58] V. P. Severdenko, V. V. Klubovich, A. V. Stepanenko, *Ultrasonic rolling and drawing of metals*, New York: Consultants Bureau, 1972.
- [59] A. Siddiq, T. El Sayed, Ultrasonic-assisted manufacturing processes: variational model and numerical simulations, *Ultrasonics*, Vol. 52, No. 4, pp. 521-9, Apr, 2012.
- [60] A. Siddiq, T. El Sayed, Acoustic softening in metals during ultrasonic assisted deformation via CP-FEM, *Materials Letters*, Vol. 65, No. 2, pp. 356-359, 2011.
- [61] M. Vahdati, R. Mahdavinejad, S. Amini, A. Abdullah, K. Abrinia, Design and manufacture of vibratory forming tool to develop "ultrasonic vibration assisted incremental sheet metal forming" process, *Modares Mechanical Engineering*, Vol. 14, No. 11, pp. 68-76, 2015. (in Persian [فارسی](#))
- [45] M. Vahdati, R. Mahdavinejad, S. Amini, A. Abdullah, K. Abrinia, Design and manufacture of vibratory forming tool to develop ultrasonic vibration assisted incremental sheet metal forming process, *Modares Mechanical Engineering*, Vol. 14, No. 11, pp. 68-76, 2015. (in Persian [فارسی](#))
- [46] M. Vahdati, R. Mahdavinejad, S. Amini, Statistical Analysis and Optimization of Factors Affecting the Spring-back Phenomenon in UVaSPIF Process Using Response Surface Methodology, *Advanced Design and Manufacturing Technology*, Vol. 8, No. 1, pp. 13-23, 2015.
- [47] F. Ahmadi, M. Farzin, M. Meratian, S. Loeian, M. Forouzan, Improvement of ECAP process by imposing ultrasonic vibrations, *Advanced Manufacturing Technology*, Vol. 79, No. 1-4, pp. 503-512, 2015.
- [48] F. Ahmadi, M. Farzin, Finite element analysis of ultrasonic-assisted equal channel angular pressing, *Proceedings of the Institution of Mechanical Engineers, Part C: Journal of Mechanical Engineering Science*, Vol. 228, No. 11, pp. 1859-1868, 2014.
- [49] R. Pohlman, E. Lehfeldt, Influence of ultrasonic vibration on metallic friction, *Ultrasonics*, Vol. 4, No. 4, pp. 178-185, 1966.
- [50] S. Dong, M. J. Dapino, Elastic-plastic cube model for ultrasonic friction reduction via Poisson's effect, *Ultrasonics*, Vol. 54, No. 1, pp. 343-350, 2014.
- [51] V. Kumar, I. Hutchings, Reduction of the sliding friction of metals by the application of longitudinal or transverse ultrasonic vibration, *Tribology International*, Vol. 37, No. 10, pp. 833-840, 2004.
- [52] B. Langenecker, Work hardening of zinc crystals by high-amplitude ultrasonic waves, *Proceeding of American Society of Test of Materials*, Vol. 61, No. 1, pp. 602-609, 1962.